

МИНИСТЕРСТВО НАУКИ И ВЫСШЕГО ОБРАЗОВАНИЯ РОССИЙСКОЙ ФЕДЕРАЦИИ  
Федеральное государственное автономное образовательное учреждение  
высшего образования  
«Национальный исследовательский  
Нижегородский государственный университет им. Н.И. Лобачевского»

Институт информационных технологий, математики и механики  
Кафедра дифференциальных уравнений, математического и численного  
анализа

**ОТЧЕТ**  
по учебной практике  
на тему:  
**«Численное решение начально-краевой задачи для  
интегро-дифференциального уравнения в частных  
производных»**

**Выполнила:**  
студентка группы 381706-1  
Кукушкина Ксения Олеговна

---

(подпись)

**Проверил:**  
старший преп. каф. ДУМЧА  
Эгамов Альберт Исмаилович

---

(подпись)

Нижний Новгород  
2020

## Содержание

|                                     |    |
|-------------------------------------|----|
| 1. Введение.....                    | 3  |
| 2. Теоретическое обоснование .....  | 4  |
| 3. Описание программы.....          | 6  |
| 3.1 Руководство программиста .....  | 6  |
| 3.2 Руководство пользователя.....   | 8  |
| 4. Доказательство корректности..... | 11 |
| 5. Вычислительный эксперимент ..... | 14 |
| 6. Вывод.....                       | 15 |
| 7. Список литературы .....          | 16 |
| Приложение .....                    | 17 |

# 1. Введение

Решение начально-краевой задачи для дифференциального уравнения состоит в нахождении его решения, удовлетворяющего некоторым начальным и граничным условиям (задают поведение дифференциального уравнения в начальный момент времени и на границе рассматриваемой области соответственно).

Рассмотрим в качестве примера управляемый процесс нагревания однородного стержня длины с теплоизолированными концами.

Задача: на множестве  $Q = [0, l] \times [0, T], l > 0, T > 0$  найти непрерывно дифференцируемую по  $t$  и дважды непрерывно дифференцируемую по  $x$  функцию  $y(x, t)$  – температуру стержня, являющуюся решением уравнения

$$y'_t(x, t) = a^2 y''_{xx}(x, t) + u(x, t) \quad (1)$$

и удовлетворяющую однородным граничным условиям второго рода

$$y'_x(0, t) = y'_x(l, t) = 0 \quad (2)$$

и начальному условию

$$y(x, 0) = \varphi(x), \quad (3)$$

где  $a$  – константа,  $\varphi(x) > 0$  – дважды непрерывно дифференцируемая на отрезке функция, задающая начальное распределение температуры и удовлетворяющая условиям согласования (3) и условию

$$\int_0^l \varphi(x) dx = 1, \quad (4)$$

непрерывная функция  $u(x, t)$  – управление с обратной связью, представляющаяся в виде

$$u(x, t) = b(x)y(x, t) \quad (5)$$

или

$$u(x, t) = b(x)y(x, t) - y(x, t) \int_0^l b(x)y(x, t) dx, \quad (6)$$

где  $b(x)$  – непрерывная на  $[0, l]$  управляющая функция.

## 2. Теоретическое обоснование

Определим нулевой слой будущей разностной схемы из (3). В качестве начальной функции берем

$$\varphi(x) = \frac{1}{l} + \varphi_1 \cos \frac{\pi x}{l} + \varphi_2 \cos \frac{2\pi x}{l}.$$

Перед вычислением каждого следующего слоя находим интеграл в (6) для значений последнего известного  $j$  слоя по формуле Симпсона:

$$I_j = \frac{h}{3} (y_0 + 4y_1 + 2y_2 + 4y_3 + 2y_3 + \dots + 2y_{K-2} + 4y_{K-1} + y_K),$$

$K = \frac{l}{h}$  – количество шагов по  $x$ , предполагается чётным.

Составим неявную разностную схему с погрешностью  $O(\tau + h^2)$ :

$$\frac{y_k^{n+1} - y_k^n}{\tau} = \frac{y_{k+1}^{n+1} - 2y_k^{n+1} + y_{k-1}^{n+1}}{h^2} + u_k^n. \quad (7)$$

Необходимо проверить, что  $\frac{\tau}{h^2} < \frac{1}{4}$  для обеспечения устойчивости разностной схемы.

Составим трехточечные разностные производные первого порядка для краевых условий с погрешностью второго порядка. В виде разностных производных краевые условия выглядят следующим образом:

$$\frac{y_1^{n+1} - y_0^{n+1}}{h} = \frac{y_K^{n+1} - y_{K-1}^{n+1}}{h} = 0$$

Уравнение (1) преобразуем к виду

$$\frac{\partial^2 y}{\partial x^2} = \frac{\partial y}{\partial \tau} - u(x, \tau)$$

и, подставив вторую производную в выражение

$$\frac{y_1 - y_0}{h} = \frac{\partial y(o, \tau)}{\partial x} + \frac{h}{2} \left( \frac{\partial^2 y}{\partial x^2} \right)_{x=0} + O(h^2),$$

получаем

$$\frac{y_1^{n+1} - y_0^{n+1}}{h} - \frac{h}{2} \frac{y_0^{n+1} - y_0^n}{\tau} + \frac{h}{2} u_0^n = 0. \quad (8)$$

Для правой границы аналогично получаем

$$\frac{y_K^{n+1} - y_{K-1}^{n+1}}{h} + \frac{h}{2} \frac{y_K^{n+1} - y_K^n}{\tau} - \frac{h}{2} u_K^n = 0. \quad (9)$$

(7)-(9) представляют собой систему из  $K + 1$  уравнения. Теперь нужно привести эту систему к трехдиагональному виду.

Для части А:

$$\begin{cases} (2\tau + h^2)y_0^{n+1} + (-2\tau)y_1^{n+1} = h^2y_k^n(1 + \tau b_k) \\ (-\tau)y_{k-1}^{n+1} + (2\tau + h^2)y_k^{n+1} + (-\tau)y_{k+1}^{n+1} = h^2y_k^n(1 + \tau b_k), & k = \overline{1, K-1} \\ (-2\tau)y_{K-1}^{n+1} + (2\tau + h^2)y_K^{n+1} = h^2y_k^n(1 + \tau b_k) \end{cases}$$

Для части В:

$$\begin{cases} (2\tau + h^2)y_0^{n+1} + (-2\tau)y_1^{n+1} = h^2y_k^n(1 + \tau(b_k - I_n)) \\ (-\tau)y_{k-1}^{n+1} + (2\tau + h^2)y_k^{n+1} + (-\tau)y_{k+1}^{n+1} = h^2y_k^n(1 + \tau(b_k - I_n)), & k = \overline{1, K-1} \\ (-2\tau)y_{K-1}^{n+1} + (2\tau + h^2)y_K^{n+1} = h^2y_k^n(1 + \tau(b_k - I_n)) \end{cases}$$

Осталось решить систему методом прогонки:

Представим систему в виде  $A_k y_{k-1}^{n+1} + B_k y_k^{n+1} + C_k y_{k+1}^{n+1} = F_k$ . Для удобства записи опустим верхние индексы (решаем систему для фиксированного слоя).

Идея метода прогонки – следующее предположение:

$$y_k = \alpha_{k+1} y_{k+1} + \beta_{k+1}, \quad k = \overline{K-1, 0} \quad (10)$$

Выразив  $y_k$  и  $y_{k-1}$  через  $y_{k+1}$  и подставив в исходный вид системы, получаем

$$(A_k \alpha_k \alpha_{k+1} + B_k \alpha_{k+1} + C_k) y_{k+1} + A_k \alpha_k \beta_{k+1} + A_k \beta_k + B_k \beta_{k+1} - F_k = 0,$$

что будет выполняться независимо от  $y$  в случае

$$\begin{cases} A_k \alpha_k \alpha_{k+1} + B_k \alpha_{k+1} + C_k = 0 \\ A_k \alpha_k \beta_{k+1} + A_k \beta_k + B_k \beta_{k+1} - F_k = 0 \end{cases} \Rightarrow \begin{cases} \alpha_{k+1} = \frac{-C_k}{A_k \alpha_k + B_k} \\ \beta_{k+1} = \frac{F_k - A_k \beta_k}{A_k \alpha_k + B_k} \end{cases}$$

Так как  $A_0 = 0$ ,

$$\begin{cases} \alpha_1 = \frac{-C_0}{B_0} \\ \beta_1 = \frac{F_0}{B_0} \end{cases}$$

Теперь можно найти все прогоночные коэффициенты.

Последняя компонента решения:

$$y_K = \frac{F_K - A_K \beta_K}{B_K + A_K \alpha_K}$$

Остальные находим из (10).

Чтобы получить из решения части А решение части В, нужно разделить полученную функцию на ее интеграл от 0 до  $l$ , вычисленный по формуле Симпсона [1, с. 7 - 8].

### 3. Описание программы

#### 3.1 Руководство программиста

Каждая функция, производящая вычисления, имеет доступ у следующим полям, считанным из формы:

- double L – длина стержня
- double T – время наблюдения
- int hnum – количество шагов по x
- int tnum – количество шагов по времени
- double b0, b1, b2 – параметры управляющей функции
- double phi1, phi2 – параметры начального распределения температуры

и рассчитываемым программно:

- double t – размер шага по времени
- double h – размер шага по x
- double[, ] res – сеточная функция, результат вычислений

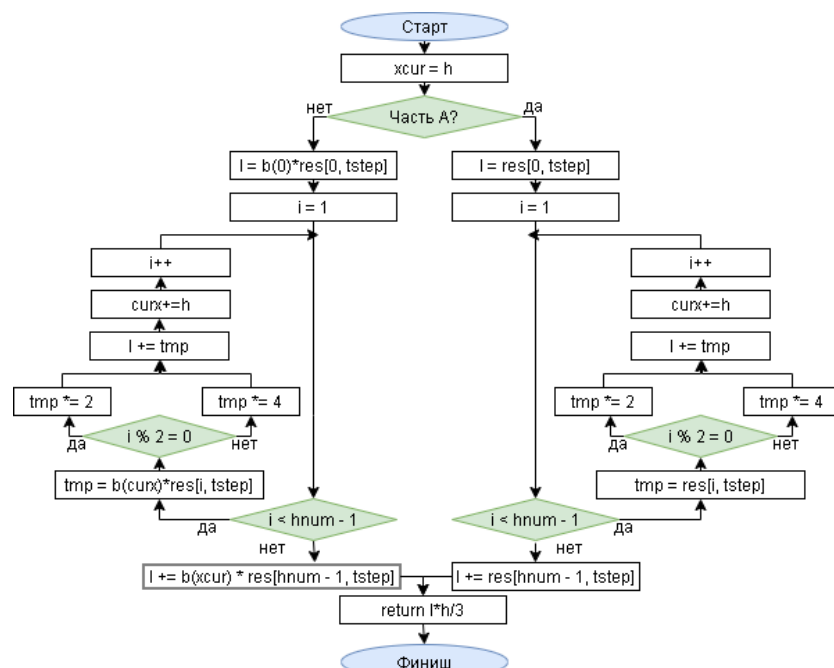
Основные функции:

double phi(double x) – рассчитывает значение начального распределения в заданной точке;

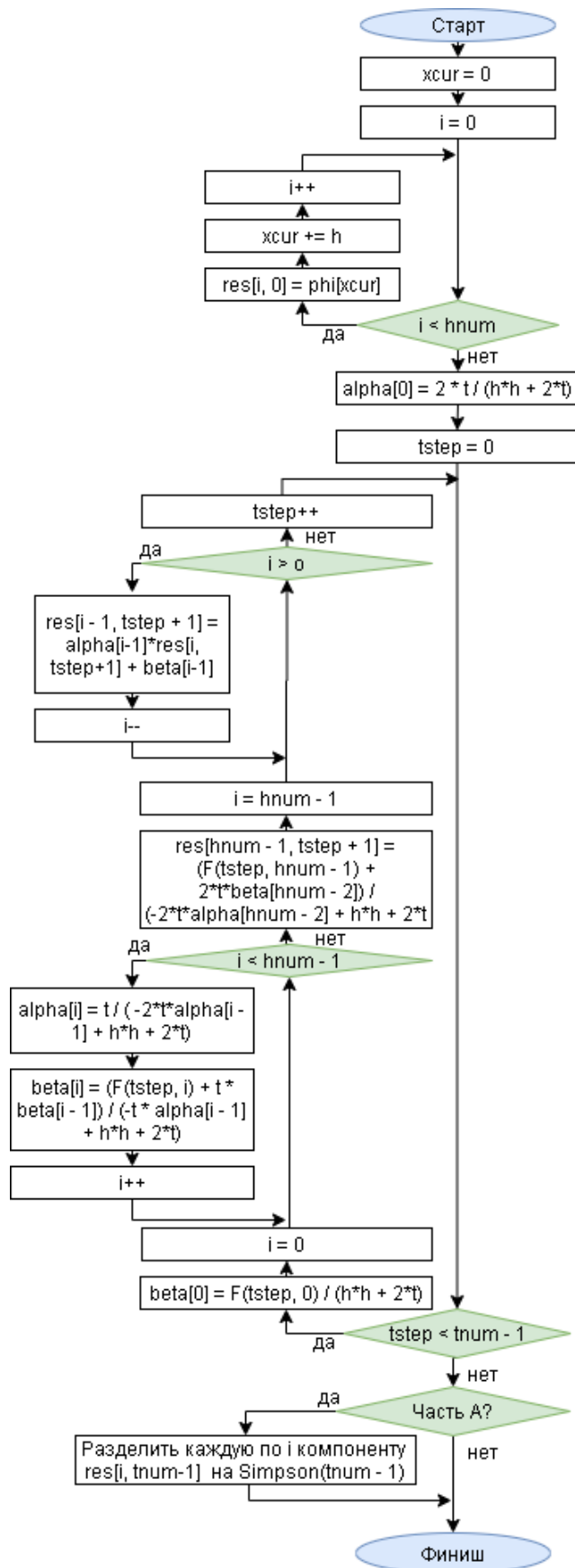
double b(double x) – рассчитывает значение управляющей функции в заданной точке;

double F(int tstep, int k) – рассчитывает значение правой части k-того уравнения на tstep слое;

double Simpson(int tstep) – рассчитывает интеграл по формуле Симпсона:



void Triagonal() – получение решения:



### 3.2 Руководство пользователя

После запуска программы пользователю предлагается ввести длину стержня, время изменения температуры, количество точек, в которых производятся расчеты, а также параметры начального распределения температуры и управления с обратной связью. Переход к следующему полю ввода может осуществляться с помощью мыши или посредством нажатия клавиш *Tab* и *Enter*. Внутри полей предусмотрен ввод цифр, запятой (для полей, принимающих дробные значения; точка автоматически преобразуется в запятую), а также удаление символов.

Численное решение начально-краевой задачи

Параметры:

Длина стержня: 10      Кол-во шагов по x: 100

Время: 1      Кол-во шагов по t: 10

$f(x) = 1/l + 0.5 \cos(\pi x/l) + 0.5 \cos(2\pi x/l)$

$b(x) = 0.5 + 0.5 \cos(\pi x/l) + 0.5 \cos(2\pi x/l)$

Рассчитать

Series1

Время выполнения части A, мс:      Части B:

Рисунок 3. 1. Стартовый экран

Когда все параметры заданы, можно приступить к решению задачи. Для этого нужно нажать кнопку “Рассчитать”. Прогресс вычисления выводится в нижней части формы.



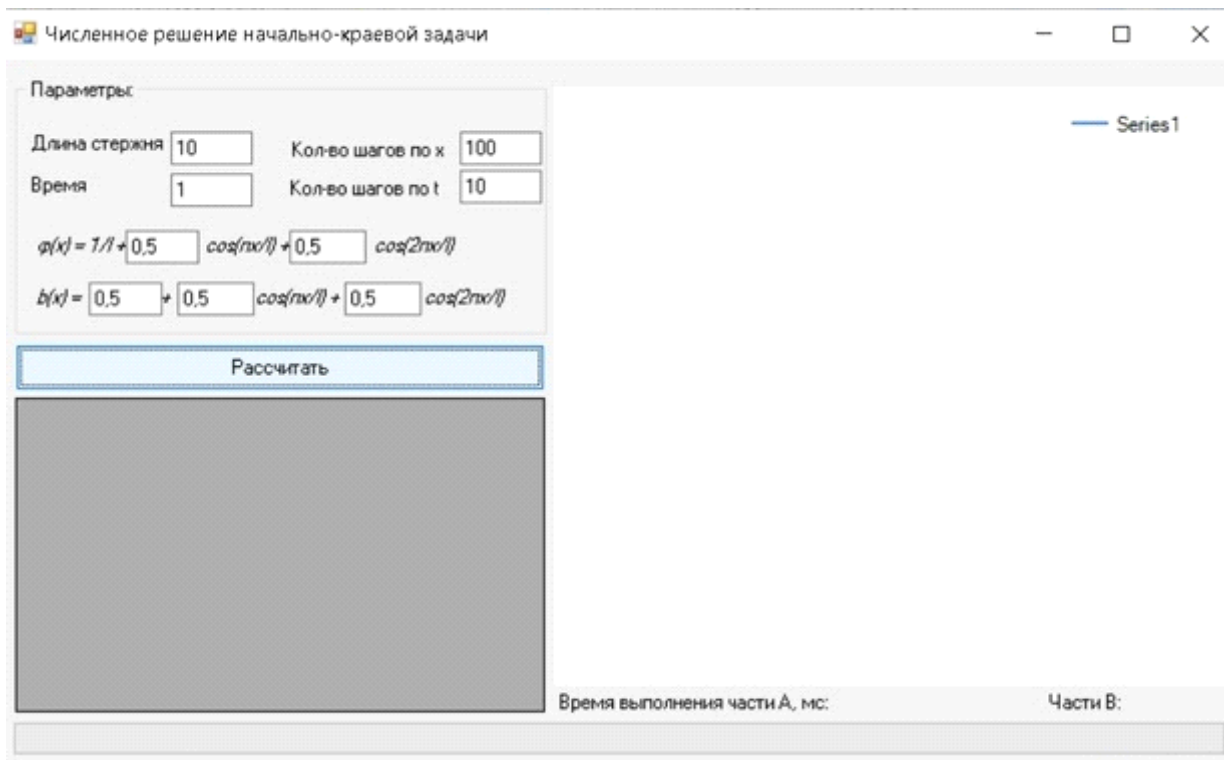


Рисунок 3. 2. Начало расчетов

В результате выполнения программы строится график начального (“Входные данные”) и конечного (“Часть В”) распределения температуры и выводится время выполнения программы в миллисекундах.

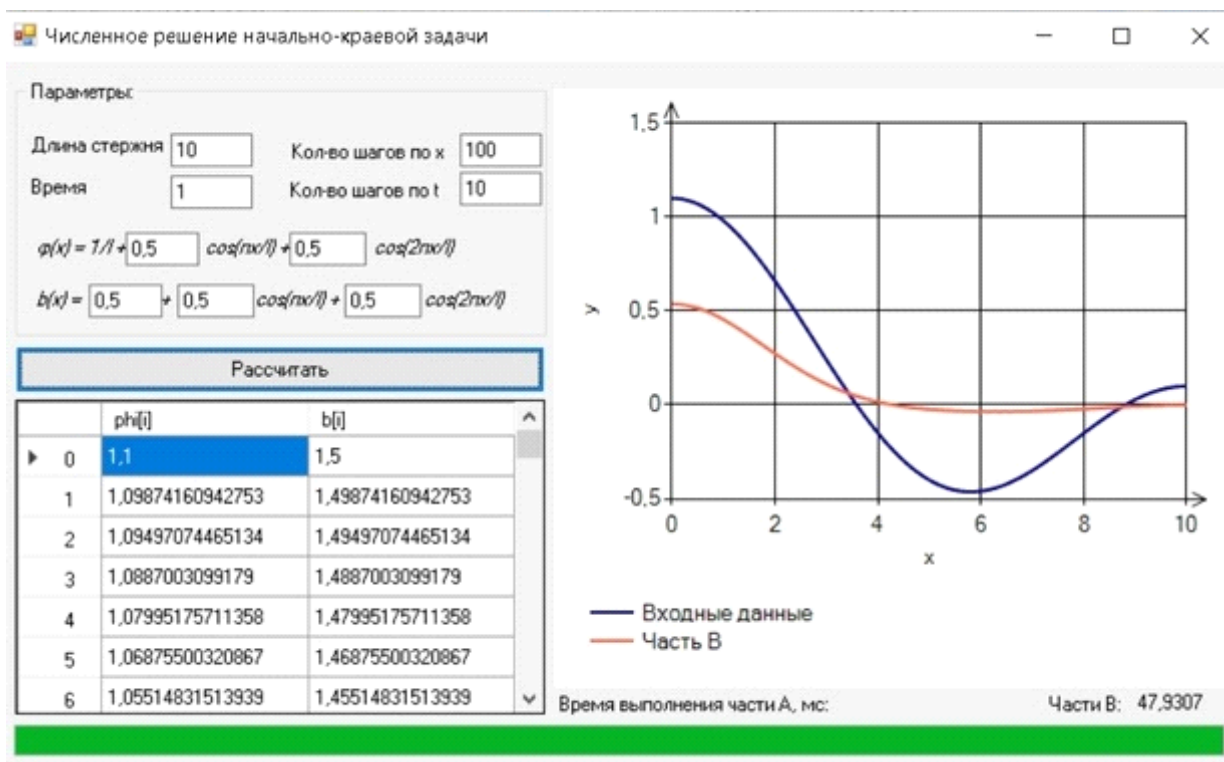


Рисунок 3. 3. Решение части В

По нажатию клавиши *Space* начинается решение с использованием части А. График решения (“*Часть А*”) совпадает с графиком “*Часть В*”, время выполнения так же выводится под графиком.

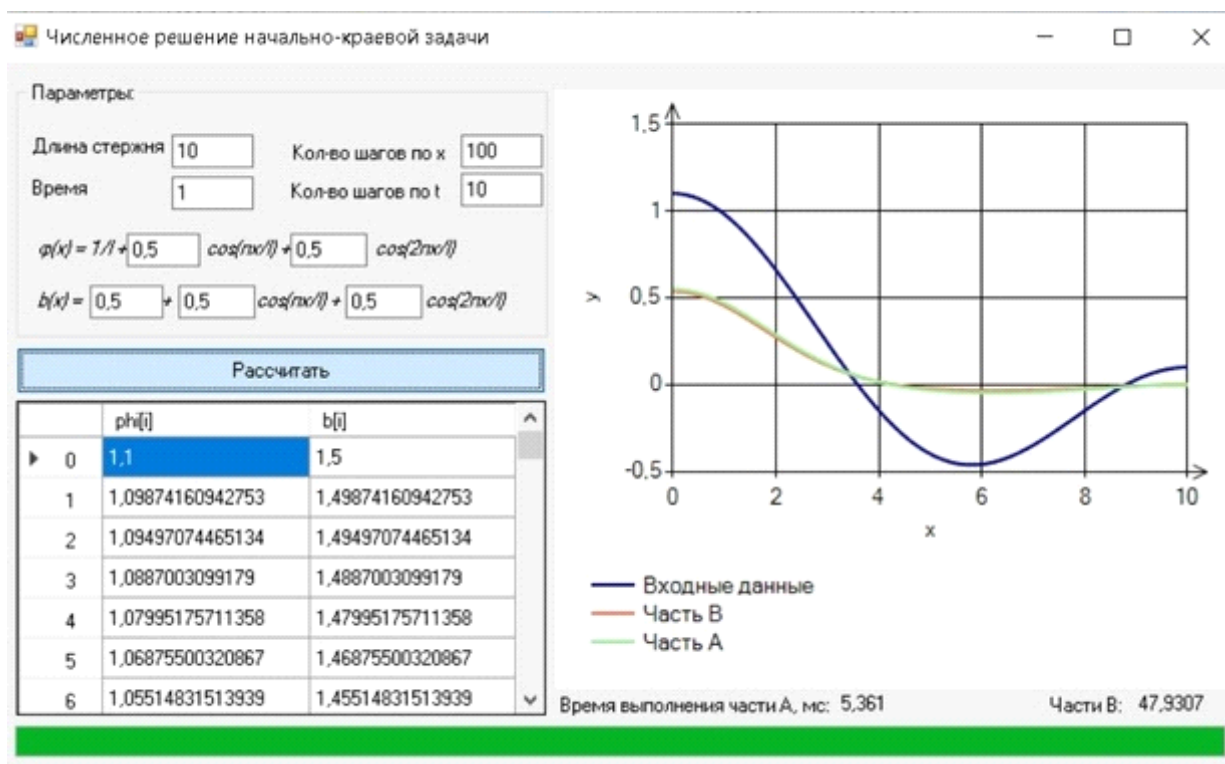


Рисунок 3. 4. Решение с использованием части А

## 4. Доказательство корректности

Проведем доказательство корректности согласно [2, с. 11].

Для примера возьмем следующие случаи:

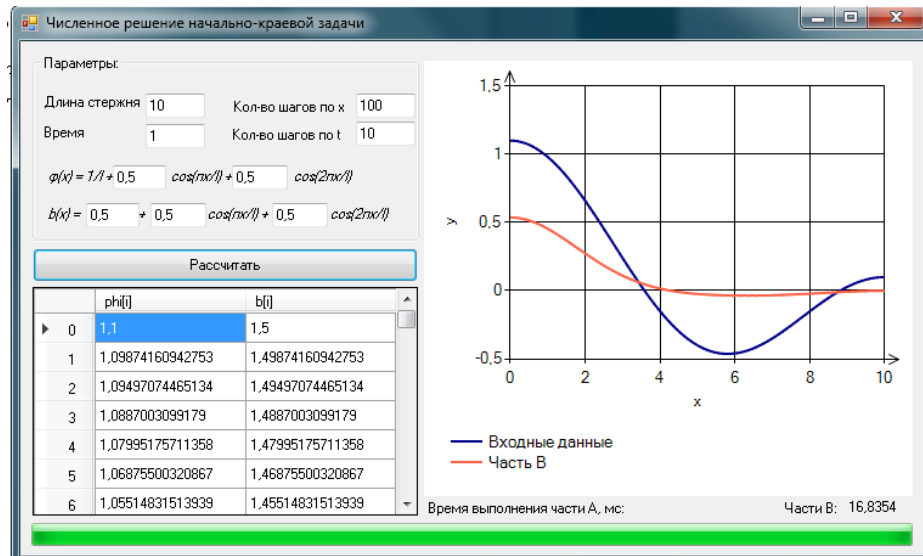


Рисунок 4. 1. Пример 1

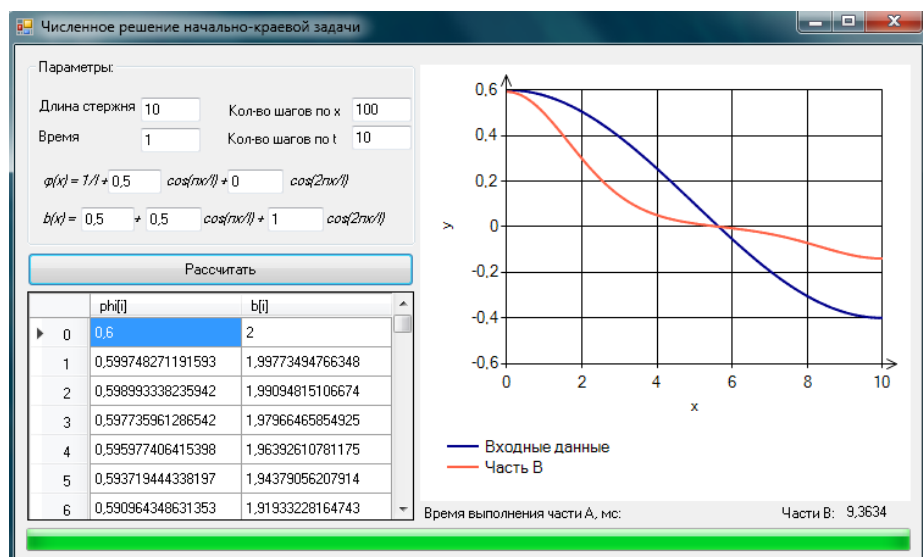


Рисунок 4. 2. Пример 2

На концах отрезка график решения имеет горизонтальные касательные (в силу краевых условий); площадь фигуры между графиками, в которой  $y(x) > \varphi(x)$ , равна площади фигуры, в которой  $y(x) < \varphi(x)$ .

Проверим, что при изменении  $b_0$  график не изменится:

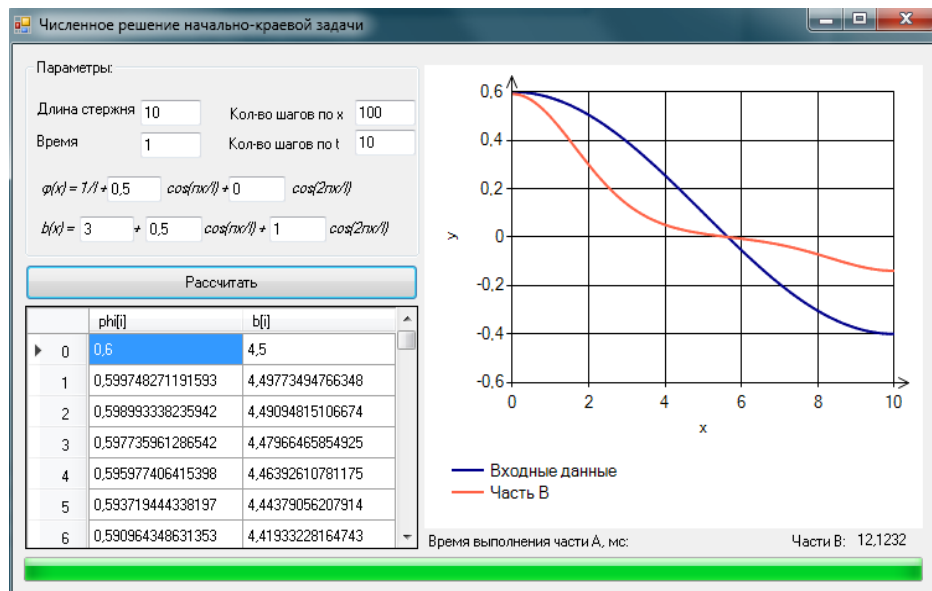


Рисунок 4. 3. Пример 1. Изменение  $b_0$

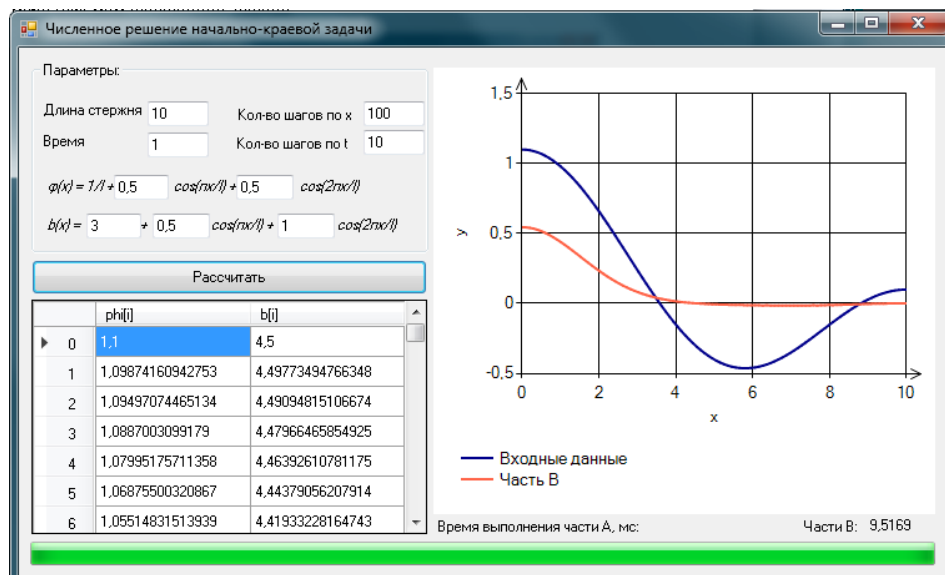


Рисунок 4. 4. Пример 2. Изменение  $b_0$

И, наконец, проверим совпадение решения части В и решения с использованием результата части А:

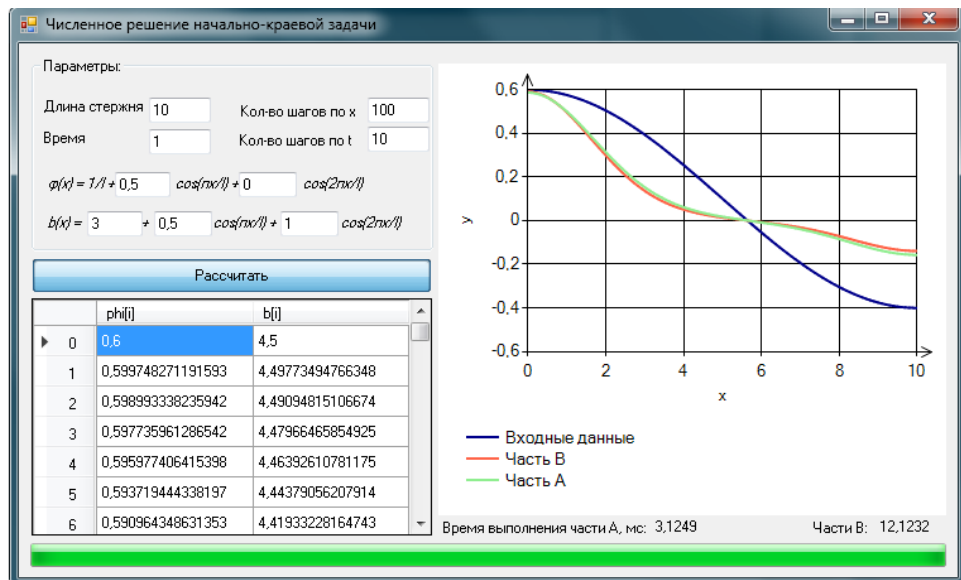


Рисунок 4. 5. Пример 1. Совпадение графиков

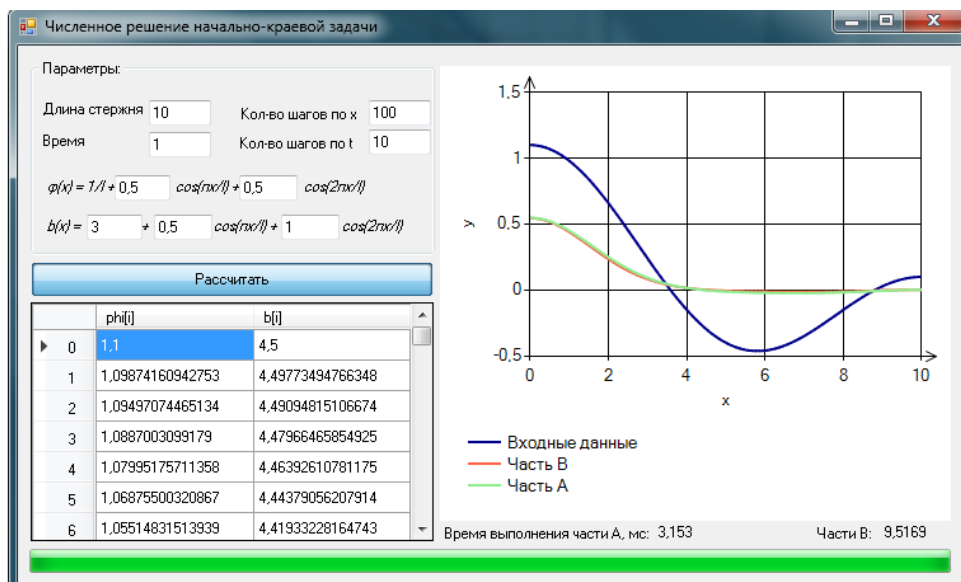


Рисунок 4. 6. Пример 2. Совпадение графиков

## 5. Вычислительный эксперимент

Рассмотрим время работы программы на тех же данных, что и в главе 4. Будем изменять количество шагов по времени и по пространству и замерять затраченное время в миллисекундах.

Таблица 1. Пример 1. Время работы

| шагов<br>по $t$                    | Время выполнения, мс |       |            |       |
|------------------------------------|----------------------|-------|------------|-------|
| <i>шагов<br/>по <math>x</math></i> | <i>200</i>           |       | <i>500</i> |       |
| <b>100</b>                         | 69                   | 218   | 165        | 1971  |
| <b>500</b>                         | 320                  | 3938  | 931        | 12949 |
| <b>1000</b>                        | 1888                 | 21082 | 5667       | 21254 |
| <b>2000</b>                        | неустойчиво          |       | 3885       | 42014 |

Таблица 2. Пример 2. Время работы

| шагов<br>по $t$                    | Время выполнения, мс |      |            |       |
|------------------------------------|----------------------|------|------------|-------|
| <i>шагов<br/>по <math>x</math></i> | <i>200</i>           |      | <i>500</i> |       |
| <b>100</b>                         | 54                   | 358  | 165        | 1975  |
| <b>500</b>                         | 268                  | 1751 | 893        | 10369 |
| <b>1000</b>                        | 521                  | 3581 | 1797       | 20773 |
| <b>2000</b>                        | неустойчиво          |      | 4182       | 42202 |

Решение части А занимает гораздо меньше времени – получаем ускорение более чем в 10 раз.

## 6. Вывод

Разработан алгоритм численного решения начально-краевой задачи для интегро-дифференциального уравнения, описывающего управляемый процесс нагревания тонкого однородного стержня с теплоизолированными концами. Корректность полученного решения подтверждена экспериментально.

Реализована программа с дружественным интерфейсом, позволяющая задавать длину стержня, время воздействия, параметры начального распределения температур и управляющей функции с обратной связью, а также количество шагов по времени и количество точек измерения температуры.

Проведен вычислительный эксперимент, который показал десятикратное ускорение при решении задачи через линейное уравнение по сравнению с нелинейным. Так как численно решения близки, целесообразнее решать линейную задачу.

## 7. Список литературы

1. Самарский А.А.. Введение в численные методы. – СПб.: Лань, 2005. 288с.
2. Эгамов А.И. Лабораторная работа «Численное решение начально-краевой задачи для интегро-дифференциального уравнения в частных производных»: учебно-мет. пособие. – Нижний Новгород: Изд-во ННГУ, 2019. - 15с.



## Приложение

```
// Расчет начального распределения температур
double phi(double x)
{
    return (1.0 / L) + phi1 * Math.Cos((Math.PI * x) / L) + phi2 * Math.Cos((2 * Math.PI * x) / L);
}
```

```
// Расчет значения управляющей функции
double phi(double x)
{
    return part * b0 + b1 * Math.Cos((Math.PI * x) / L) + b2 * Math.Cos((2 * Math.PI * x) / L);
}
```

```
// Расчет значения правой части k-того уравнения на tstep слое
double F(int tstep, int k)
{
    if (Часть B)
        return h * h * result[i, tstep] * (t * (b(h * i) - Simpson(tstep)) + 1);
    else
        return h * h * result[i, tstep] * (t * (b(h * i) + 1));
}
```

```
// Расчет интеграла по формуле Симпсона
double Simpson(int tstep)
{
    double I;
    double tmp;
    double xcur = h;
    if (Часть B)
    {
        I = b(0) * res[0, tstep];
        for (int i = 1; i < hnum - 1; ++i)
        {
            tmp = b(xcur) * coeff * res[i, tstep];
            if (i % 2 == 0) tmp *= 2;
            else tmp *= 4;
            I += tmp;
            xcur += h;
        }
        I += b(xcur) * res[hnum - 1, tstep];
    }
    else
    {
        I = res[0, tstep];
        for (int i = 1; i < hnum - 1; i++)
        {
            tmp = res[i, tstep];
```

```

        if (i % 2 == 0) tmp *= 2;
        else tmp* = 4;
        I += tmp;
        xcur += h;
    }
    I += res[hnum - 1, tstep];
}
return I * h / 3;
}

```

// Метод прогонки

```

void Triagonal()
{
    double[] alpha = new double[hnum];
    double[] beta = new double[hnum];
    double xcur = 0;

    // Заполнение нулевого слоя
    for (int i = 0; i < hnum; k++)
    {
        res [k, 0] = phi(xcur);
        xcur += h;
    }

    // Для каждого слоя
    for (int tstep = 0; tstep < tnum - 1; tstep++)
    {
        // Вычислить прогоночные коэффициенты
        alpha[0] = - t * (-2 * t / h * h + 2 * t);
        beta[0] = F(tstep, 0) / h * h + 2 * t;
        for (int i = 1; i < hnum - 1; i++)
        {
            alpha[i] = t / (-t * alpha[k - 1] + B);
            beta[i] = (F(tstep, i) + t * beta[i - 1]) / (-t * alpha[i - 1] + h * h + 2 * t);
        }
        // Вычислить решение
        res[hnum - 1, tstep + 1] = (F(tstep, hnum - 1) + 2 * t * beta[hnum - 2]) / (-2 * t *
alpha[hnum - 2] + h * h + 2 * t);
        for (int i = hnum - 1; i > 0; i--)
        {
            res[i - 1, tstep + 1] = alpha[i - 1] * res[i, tstep + 1] + beta[i - 1];
        }
    }
}

```

```
if (часть A)
{
    // разделить каждую компоненту на интеграл
    double I = Simpson(tnum - 1);
    for (int i = 0; i < hnum; i++)
        res[i, tnum - 1] /= I;
}
}
```